

Ein- und Ausgabe: Offset-Reflektiv-System ORS18a für relativen CIELAB-Buntton $h_{ab,a,rel} = h_{ab}/360 = 234/360 = 0.65$

$H^*_ = G50B_-$

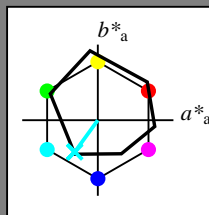
Daten für jede Geräte- (d) oder
Elementarfarbe (e):

$HIC^*_$

Bunttontext für die Farben
dieser Seite:

$H^*_ = G50B_-$

Dreiecks-Helligkeit T^*



ORS18a; adaptierte CIELAB-Daten					
Name	$L^*=L^*_a a^*_a$	b^*_a	$C^*_{ab,a}$	$h^*_{ab,a}$	
R _{-,Ma}	47.9	65.3	50.5	82.6	37
Y _{-,Ma}	90.3	-10.2	91.7	92.3	96
G _{-,Ma}	50.9	-62.8	34.9	71.9	150
C _{-,Ma}	58.6	-30.3	-45.0	54.2	236
B _{-,Ma}	25.7	31.0	-44.4	54.2	305
M _{-,Ma}	48.1	75.2	-8.3	75.7	353
N _{-,Ma}	18.0	0.0	0.0	0.0	0
W _{-,Ma}	95.4	0.0	0.0	0.0	0
R _{-,CIE}	39.9	58.7	27.9	65.0	25
Y _{-,CIE}	81.2	-2.8	71.5	71.6	92
G _{-,CIE}	52.2	-42.4	13.6	44.5	162
B _{-,CIE}	30.5	1.4	-46.4	46.4	271

Daten für Maximalfarbe (Ma):

$LabCh^*_{-,Ma}$: 63 -30 -42 51 234

$HIC^*_{-,Ma}$: G50B_100_100_

$rgbic^*_{-,Ma}$:

0.0 1.0 1.0 1.0 1.0

Dreiecks-Helligkeit T^*

%Umfang

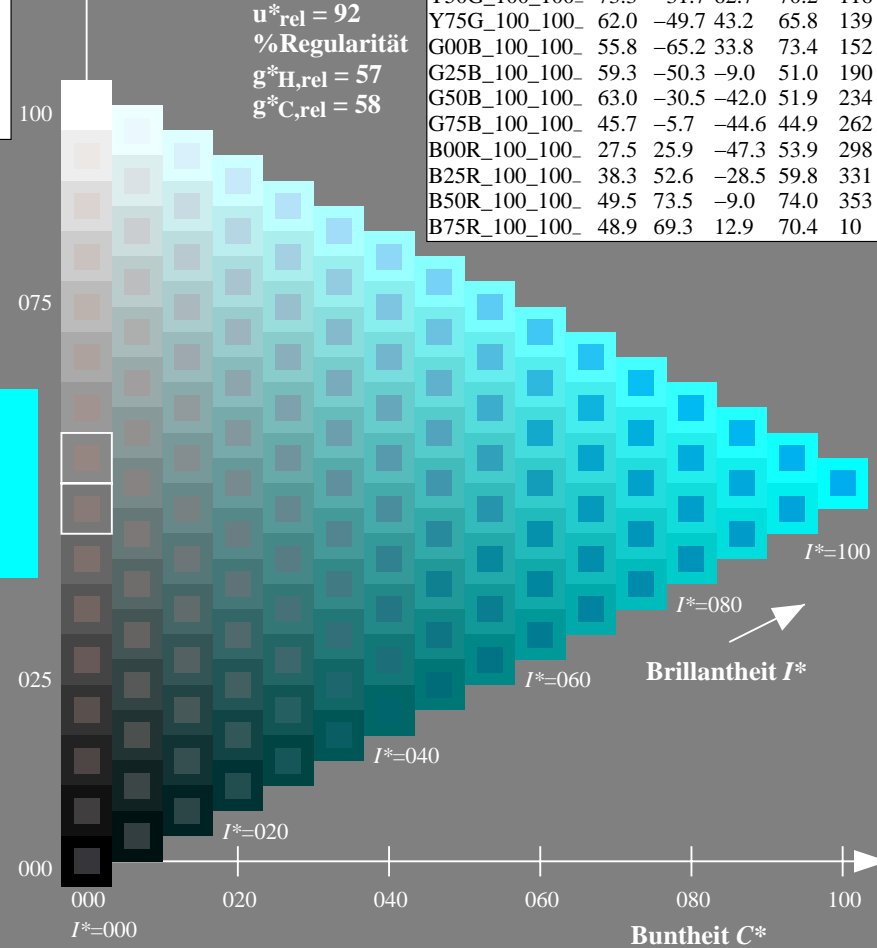
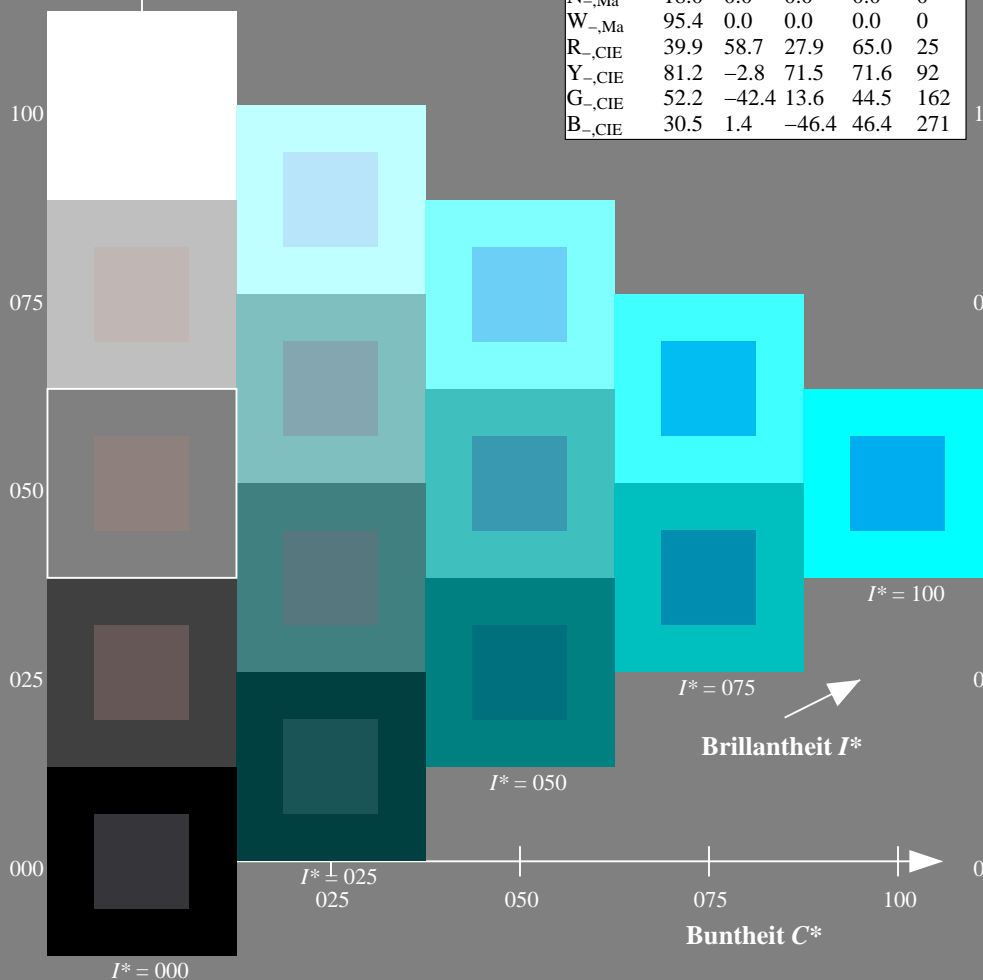
$u^*_{rel} = 92$

%Regularität

$g^*_{H,rel} = 57$

$g^*_{C,rel} = 58$

ORS20a; adaptierte CIELAB-Daten					
$H^*_$	$L^*=L^*_a a^*_a$	b^*_a	$C^*_{ab,a}$	$h^*_{ab,a}$	
R00Y_100_100_	48.4	66.1	40.2	77.3	31
R25Y_100_100_	56.8	48.0	50.5	69.6	46
R50Y_100_100_	68.6	25.0	63.9	68.6	68
R75Y_100_100_	80.6	4.8	77.2	77.3	86
Y00G_100_100_	90.2	-9.6	88.2	88.7	96
Y25G_100_100_	83.2	-18.4	79.9	81.9	102
Y50G_100_100_	73.3	-31.7	62.7	70.2	116
Y75G_100_100_	62.0	-49.7	43.2	65.8	139
G00B_100_100_	55.8	-65.2	33.8	73.4	152
G25B_100_100_	59.3	-50.3	-9.0	51.0	190
G50B_100_100_	63.0	-30.5	-42.0	51.9	234
G75B_100_100_	45.7	-5.7	-44.6	44.9	262
B00R_100_100_	27.5	25.9	-47.3	53.9	298
B25R_100_100_	38.3	52.6	-28.5	59.8	331
B50R_100_100_	49.5	73.5	-9.0	74.0	353
B75R_100_100_	48.9	69.3	12.9	70.4	10



Ein- und Ausgabe: Fernseh-Lichtfarben-System TLS00a für relativen CIELAB-Buntton $h_{ab,a,rel} = h_{ab}/360 = 196/360 = 0.54$

$H^*_d = G50B_d$

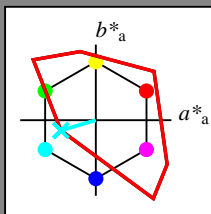
Daten für jede Geräte- (d) oder
Elementarfarbe (e):

HIC^*_d

Bunttontext für die Farben
dieser Seite:

$H^*_d = G50B_d$

Dreiecks-Helligkeit T^*



TLS00a; adaptierte CIELAB-Daten					
Name	$L^*=L^*_a$	a^*_a	b^*_a	$C^*_{ab,a}$	$h^*_{ab,a}$
R _{d,Ma}	50.4	76.9	64.5	100.4	40
Y _{d,Ma}	92.6	-20.7	90.7	93.0	102
G _{d,Ma}	83.6	-82.7	79.8	115.0	136
C _{d,Ma}	86.8	-46.1	-13.5	48.1	196
B _{d,Ma}	30.3	76.0	-103.5	128.5	306
M _{d,Ma}	57.2	94.3	-58.4	110.9	328
N _{d,Ma}	0.0	0.0	0.0	0.0	0
W _{d,Ma}	95.4	0.0	0.0	0.0	0
R _{d,CIE}	39.9	58.7	27.9	65.0	25
Y _{d,CIE}	81.2	-2.8	71.5	71.6	92
G _{d,CIE}	52.2	-42.4	13.6	44.5	162
B _{d,CIE}	30.5	1.4	-46.4	46.4	271

Daten für Maximalfarbe (Ma):

$LabCh^*_d, Ma$: 86 -46 -13 48 196

HIC^*_d, Ma : G50B_100_100d

$rgbic^*_d, Ma$:

0.0 1.0 1.0 1.0 1.0

Dreiecks-Helligkeit T^*

%Umfang

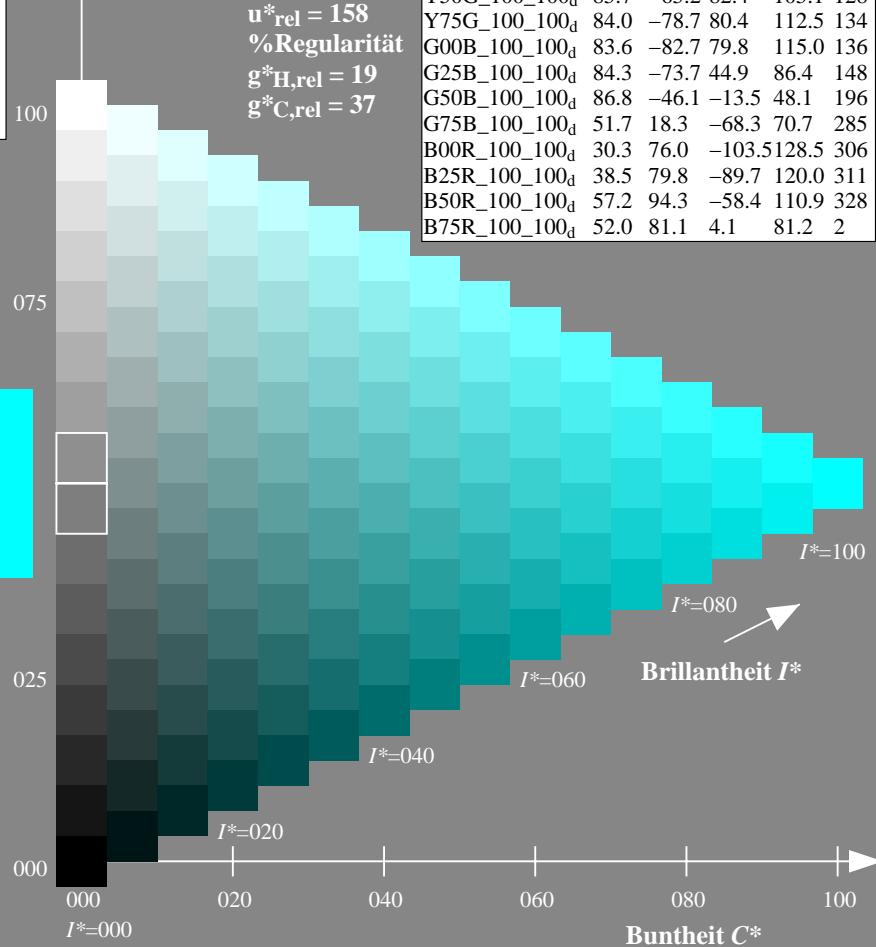
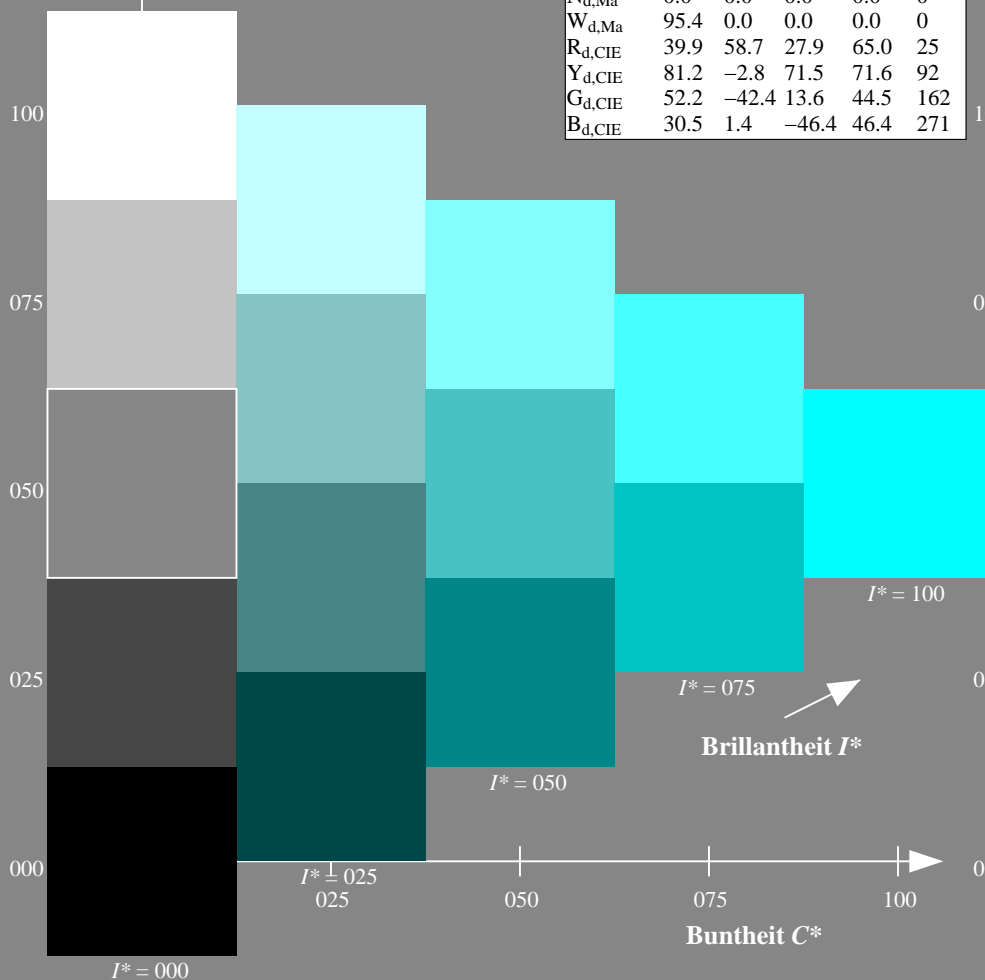
$u^*_{rel} = 158$

%Regularität

$g^*_{H,rel} = 19$

$g^*_{C,rel} = 37$

TLS00a; adaptierte CIELAB-Daten					
H^*_d	$L^*=L^*_a$	a^*_a	b^*_a	$C^*_{ab,a}$	$h^*_{ab,a}$
R00Y_100_100d	50.4	76.9	64.5	100.4	40
R25Y_100_100d	53.7	67.6	65.8	94.4	44
R50Y_100_100d	63.6	41.3	71.0	82.2	59
R75Y_100_100d	78.2	7.8	80.6	81.0	84
Y00G_100_100d	92.6	-20.7	90.7	93.0	102
Y25G_100_100d	88.7	-43.3	86.2	96.5	116
Y50G_100_100d	85.7	-65.2	82.4	105.1	128
Y75G_100_100d	84.0	-78.7	80.4	112.5	134
G00B_100_100d	83.6	-82.7	79.8	115.0	136
G25B_100_100d	84.3	-73.7	44.9	86.4	148
G50B_100_100d	86.8	-46.1	-13.5	48.1	196
G75B_100_100d	51.7	18.3	-68.3	70.7	285
B00R_100_100d	30.3	76.0	-103.5	128.5	306
B25R_100_100d	38.5	79.8	-89.7	120.0	311
B50R_100_100d	57.2	94.3	-58.4	110.9	328
B75R_100_100d	52.0	81.1	4.1	81.2	2



Ein- und Ausgabe: Offset-Reflektiv-System ORS18a für relativen CIELAB-Buntton $h_{ab,a,rel} = h_{ab}/360 = 234/360 = 0.65$

$H^*_ = G50B_ -$

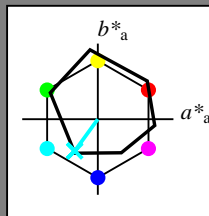
Daten für jede Geräte- (d) oder
Elementarfarbe (e):

$HIC^*_$

Bunttontext für die Farben
dieser Seite:

$H^*_ = G50B_ -$

Dreiecks-Helligkeit T^*



ORS18a; adaptierte CIELAB-Daten					
Name	$L^*=L^*_a a^*_a$	b^*_a	$C^*_{ab,a}$	$h^*_{ab,a}$	
R ₋ ,Ma	47.9	65.3	50.5	82.6	37
Y ₋ ,Ma	90.3	-10.2	91.7	92.3	96
G ₋ ,Ma	50.9	-62.8	34.9	71.9	150
C ₋ ,Ma	58.6	-30.3	-45.0	54.2	236
B ₋ ,Ma	25.7	31.0	-44.4	54.2	305
M ₋ ,Ma	48.1	75.2	-8.3	75.7	353
N ₋ ,Ma	18.0	0.0	0.0	0.0	0
W ₋ ,Ma	95.4	0.0	0.0	0.0	0
R ₋ ,CIE	39.9	58.7	27.9	65.0	25
Y ₋ ,CIE	81.2	-2.8	71.5	71.6	92
G ₋ ,CIE	52.2	-42.4	13.6	44.5	162
B ₋ ,CIE	30.5	1.4	-46.4	46.4	271

Daten für Maximalfarbe (Ma):

$LabCh^*_{-,Ma}$: 63 -30 -42 51 234

$HIC^*_{-,Ma}$: G50B_100_100_

$rgbic^*_{-,Ma}$:

0.0 1.0 1.0 1.0 1.0

Dreiecks-Helligkeit T^*

%Umfang

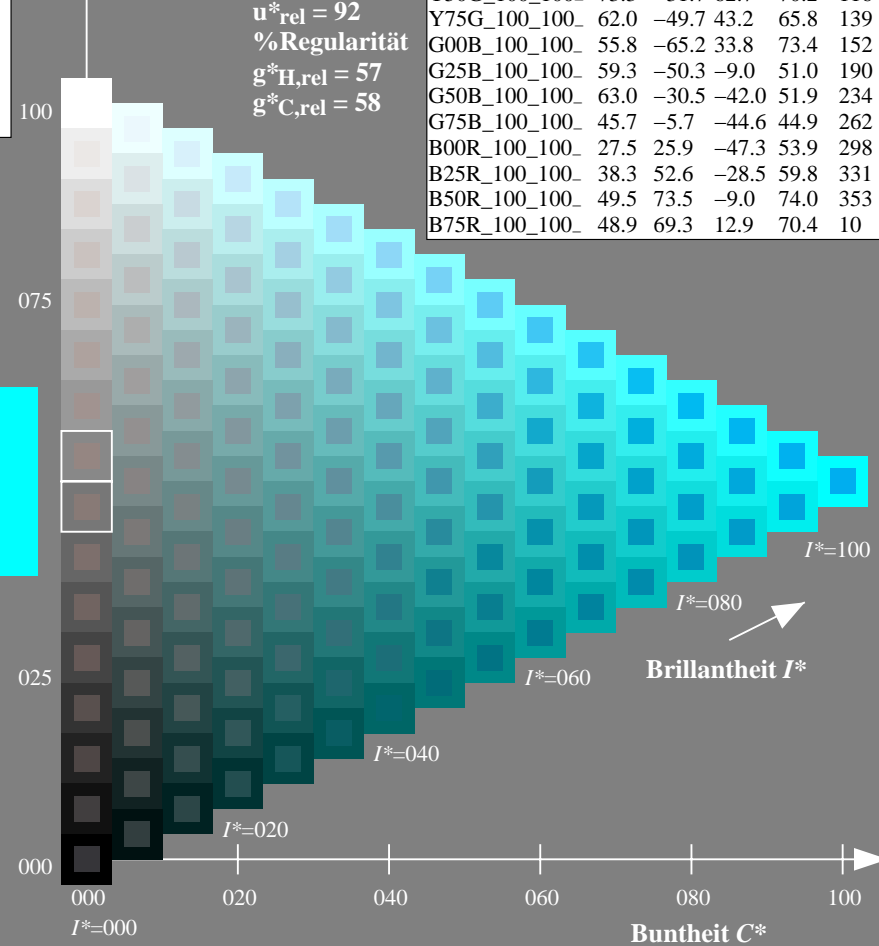
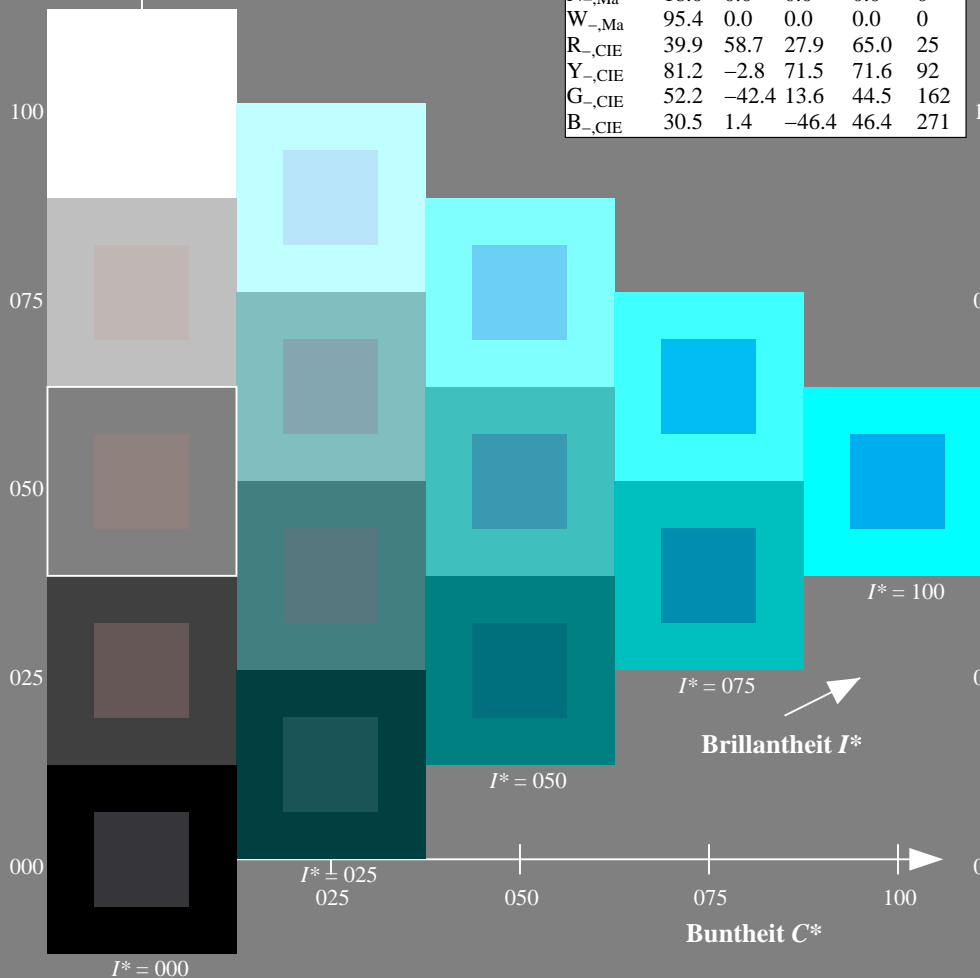
$u^*_{rel} = 92$

%Regularität

$g^*_{H,rel} = 57$

$g^*_{C,rel} = 58$

ORS20a; adaptierte CIELAB-Daten					
$H^*_$	$L^*=L^*_a a^*_a$	b^*_a	$C^*_{ab,a}$	$h^*_{ab,a}$	
R00Y_100_100_	48.4	66.1	40.2	77.3	31
R25Y_100_100_	56.8	48.0	50.5	69.6	46
R50Y_100_100_	68.6	25.0	63.9	68.6	68
R75Y_100_100_	80.6	4.8	77.2	77.3	86
Y00G_100_100_	90.2	-9.6	88.2	88.7	96
Y25G_100_100_	83.2	-18.4	79.9	81.9	102
Y50G_100_100_	73.3	-31.7	62.7	70.2	116
Y75G_100_100_	62.0	-49.7	43.2	65.8	139
G00B_100_100_	55.8	-65.2	33.8	73.4	152
G25B_100_100_	59.3	-50.3	-9.0	51.0	190
G50B_100_100_	63.0	-30.5	-42.0	51.9	234
G75B_100_100_	45.7	-5.7	-44.6	44.9	262
B00R_100_100_	27.5	25.9	-47.3	53.9	298
B25R_100_100_	38.3	52.6	-28.5	59.8	331
B50R_100_100_	49.5	73.5	-9.0	74.0	353
B75R_100_100_	48.9	69.3	12.9	70.4	10



Ein- und Ausgabe: Fernseh-Lichtfarben-System TLS00a für relativen CIELAB-Buntton $h_{ab,a,rel} = h_{ab}/360 = 216/360 = 0.6$

$H^*_e = G50B_e$

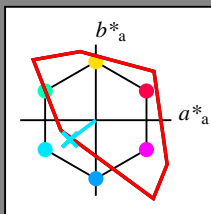
Daten für jede Geräte- (d) oder
Elementarfarbe (e):

HIC^*_e

Bunttontext für die Farben
dieser Seite:

$H^*_e = G50B_e$

Dreiecks-Helligkeit T^*



TLS00a; adaptierte CIELAB-Daten

Name	$L^*=L^*_a$	a^*_a	b^*_a	$C^*_{ab,a}$	$h^*_{ab,a}$
$R_{e,Ma}$	50.9	78.3	37.3	86.7	25
$Y_{e,Ma}$	83.7	-3.4	84.5	84.5	92
$G_{e,Ma}$	85.1	-64.6	20.7	67.9	162
$C_{e,Ma}$	79.0	-34.2	-25.7	42.8	216
$B_{e,Ma}$	59.2	1.7	-56.6	56.6	271
$M_{e,Ma}$	57.1	94.1	-57.4	110.3	328
$N_{e,Ma}$	0.0	0.0	0.0	0.0	0
$W_{e,Ma}$	95.4	0.0	0.0	0.0	0
$R_{e,CIE}$	39.9	58.7	27.9	65.0	25
$Y_{e,CIE}$	81.2	-2.8	71.5	71.6	92
$G_{e,CIE}$	52.2	-42.4	13.6	44.5	162
$B_{e,CIE}$	30.5	1.4	-46.4	46.4	271

Daten für Maximalfarbe (Ma):

$LabCh^*_{e,Ma}$: 79 -34 -25 42 216

$HIC^*_{e,Ma}$: G50B_100_100_e

$rgbic^*_{e,Ma}$:

0.0 0.89 1.0 1.0 1.0

Dreiecks-Helligkeit T^*

%Umfang

$u^*_{rel} = 158$

%Regularität

$g^*_{H,rel} = 19$

$g^*_{C,rel} = 37$

TLS00a; adaptierte CIELAB-Daten

H^*_e	$L^*=L^*_a$	a^*_a	b^*_a	$C^*_{ab,a}$	$h^*_{ab,a}$
$R00Y_{100_100_e}$	50.9	78.3	37.3	86.7	25
$R25Y_{100_100_e}$	51.3	74.4	64.8	98.7	41
$R50Y_{100_100_e}$	63.1	42.7	70.8	82.7	58
$R75Y_{100_100_e}$	73.5	18.3	77.7	79.8	76
$Y00G_{100_100_e}$	83.7	-3.4	84.5	84.5	92
$Y25G_{100_100_e}$	91.0	-29.9	88.9	93.8	108
$Y50G_{100_100_e}$	85.9	-63.0	82.8	104.1	127
$Y75G_{100_100_e}$	84.1	-76.0	51.4	91.8	145
$G00B_{100_100_e}$	85.1	-64.6	20.7	67.9	162
$G25B_{100_100_e}$	86.5	-49.9	-8.4	50.6	189
$G50B_{100_100_e}$	79.0	-34.2	-25.7	42.8	216
$G75B_{100_100_e}$	70.0	-19.0	-39.6	43.9	244
$B00R_{100_100_e}$	59.2	1.7	-56.6	56.6	271
$B25R_{100_100_e}$	38.2	52.7	-90.7	104.9	300
$B50R_{100_100_e}$	57.1	94.1	-57.4	110.3	328
$B75R_{100_100_e}$	52.9	83.6	-11.6	84.4	352

